

6.3 Σεισμικές εντάσεις

6.3.1 Σεισμικές επιταχύνσεις

Από τη δυναμική ανάλυση του φορέα, για σεισμική διέγερση κατά X με κάποια μέθοδο (π.χ. με τη CQC που εφαρμόζει και το συνοδευτικό λογισμικό), προκύπτουν οι σεισμικές επιταχύνσεις a_{xx} , a_{xy} , a_{xz} ¹⁰ κάθε διαφράγματος, με σημείο εφαρμογής το κέντρο μάζας τους. Για τους κόμβους που δεν ανήκουν σε κάποιο διάφραγμα, όπως οι κόμβοι της γωνιακής κολόνας του κτιρίου του παραδείγματος, υπολογίζονται οι σεισμικές επιταχύνσεις με σημείο εφαρμογής τον κόμβο.

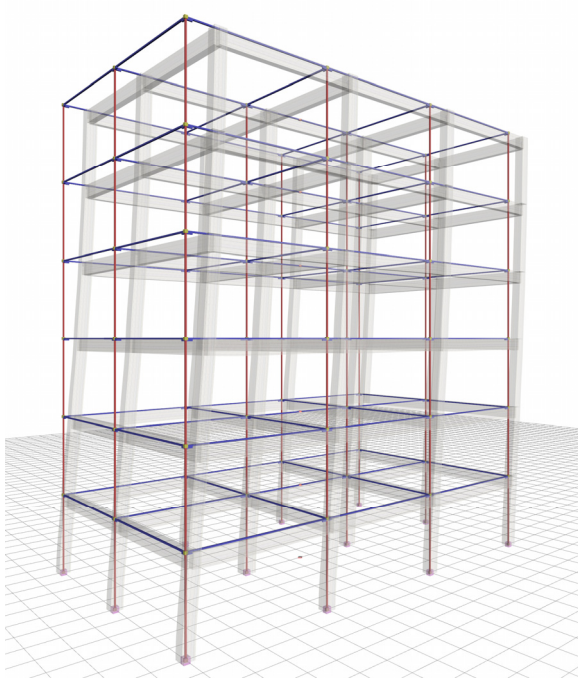
Σεισμός κατά X			
Μάζες	a/g	H[kN]	V[kN]
<i>Eikόνα 6.3.1-1: Δεκαώροφο κτίριο μικτού συστήματος. Διαφραγματικοί κόμβοι και μη Μελέτη <B_547-2></i>			<i>Eikόνα 6.3.1-2: Σελίδα από την εκτύπωση του λογισμικού Κατανομή σεισμικών Επιταχύνσεων-Δυνάμεων-Τεμνουσών</i>

Οι σεισμικές δυνάμεις H_{xx} , H_{xy} και H_{xz} ενός κόμβου προκύπτουν από τον πολλαπλασιασμό των σεισμικών επιταχύνσεων του κόμβου επί τη μάζα που αντιστοιχεί σ' αυτόν. Για σεισμό κατά X, οι σεισμικές επιταχύνσεις και δυνάμεις, δεν είναι κατ' ανάγκη μόνο κατά X, αλλά γενικά έχουν συνιστώσα και κατά Y και κατά Z. Τα αντίστοιχα ισχύουν και για την διεύθυνση Y.

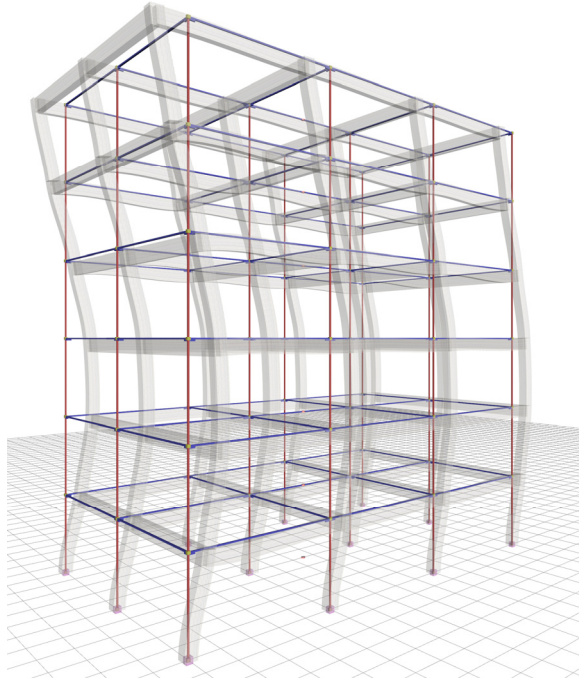
¹⁰ Σεισμική επιτάχυνση a_{xx} σημαίνει επιτάχυνση κατά X που έχει προκύψει από σεισμική διέγερση κατά X, a_{xy} σημαίνει επιτάχυνση κατά Y που έχει προκύψει από σεισμική διέγερση κατά X και a_{xz} επιτάχυνση κατά Z που έχει προκύψει από σεισμική διέγερση κατά X.

Αποτελέσματα της δυναμικής ανάλυσης του πλαισιακού φορέα

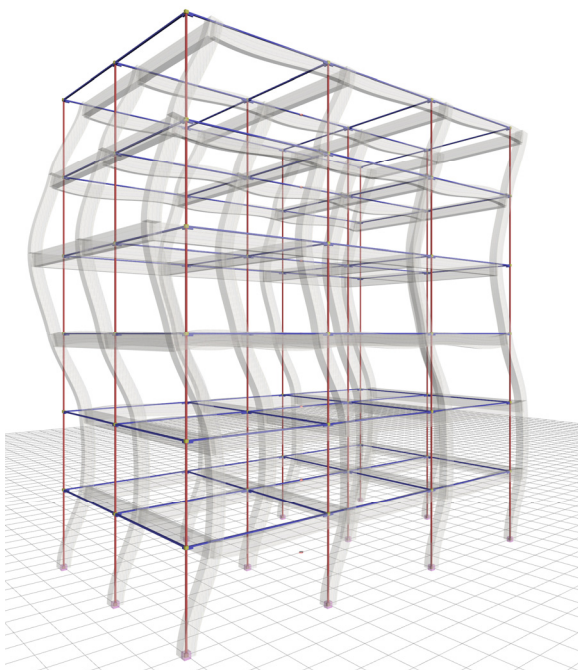
Πάκτωση στη στάθμη του εδάφους (μελέτη [<Β_641-1>](#))



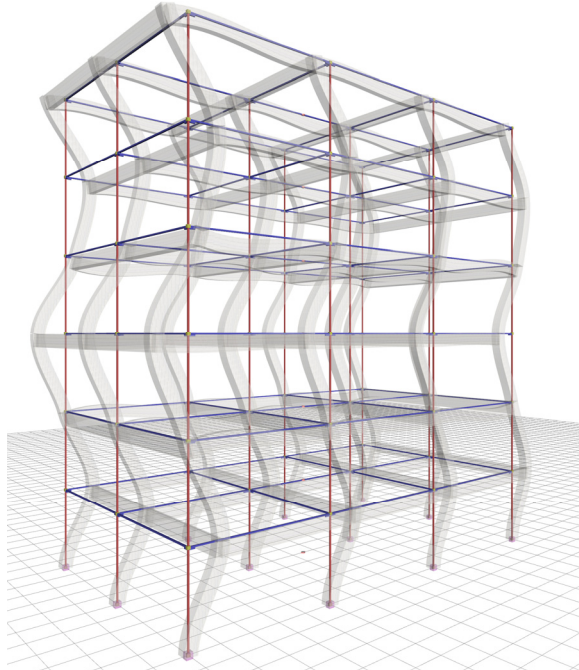
Εικόνα 6.4.1-2: 1^η ιδιομορφή κατά X:
T=0.975 sec, συμμετοχή 84%



Εικόνα 6.4.1-3: 2^η ιδιομορφή κατά X:
T=0.321 sec, συμμετοχή 10%



Εικόνα 6.4.1-4: 3^η ιδιομορφή κατά X:
T=0.189 sec, συμμετοχή 3.5%

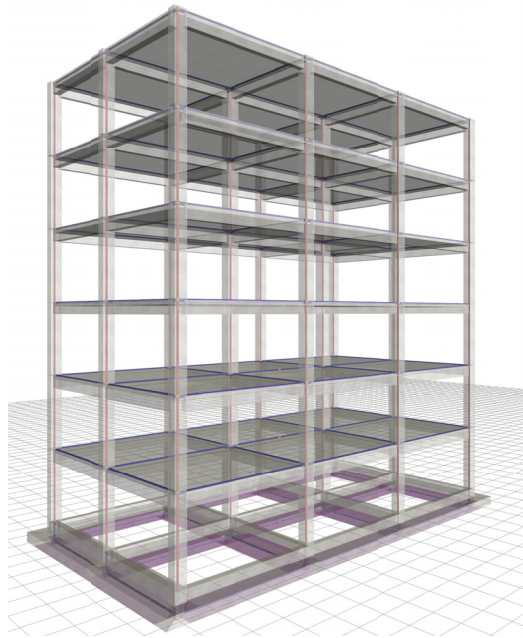


Εικόνα 6.4.1-5: 4^η ιδιομορφή κατά X:
T=0.134 sec, συμμετοχή 1.6%

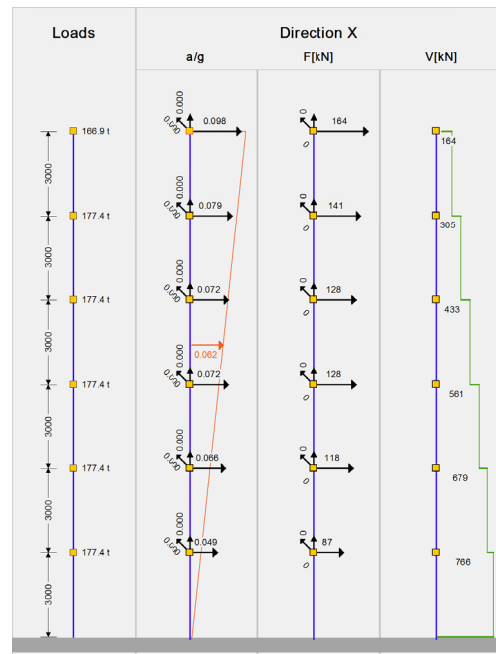
Οι 4 πρώτες ιδιομορφές καλύπτουν το 99% της συνολικής μάζας. Η πρώτη ιδιομορφή είναι η κυρίαρχη καθώς καλύπτει το 84% της συνολικής μάζας.

Και οι 4 ιδιομορφές είναι μεταφορικές και όχι στρεπτικές, όπως αναμενόταν άλλωστε από τη διπλή συμμετρία του φορέα.

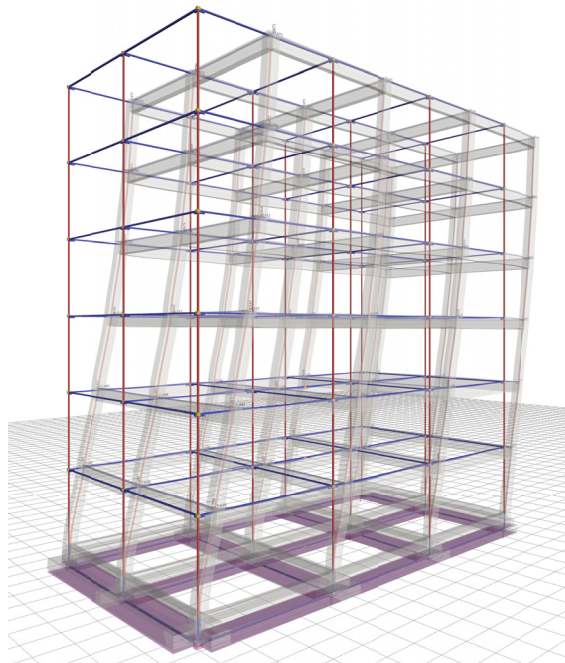
2^η περίπτωση: Θεμελίωση με πεδιλοδοκούς (μελέτη <B_641-2>)



Εικόνα 6.4.1-11: Φορέας και προσομοίωμα
Πλαισιακό στατικό σύστημα με $q=3.60$

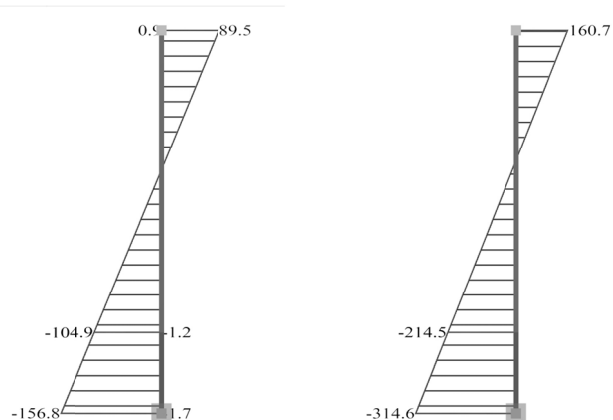


Εικόνα 6.4.1-12: Σεισμικές επιπταχύνσεις-δυνάμεις-τέμνουσες
1η κυριαρχη ιδιοπερίοδος: $T_1=1.012$ sec, συμμετοχή 85%



Εικόνα 6.4.1-13: Μετακινήσεις φορέα για σεισμό κατά
 x
 $\delta_{max}=25.7$ mm

Ροπές κάμψης κολονών ισογείου



Εικόνα 6.4.1-14:
Υποστύλωμα ισογείου
0c2 (400/400)

Εικόνα 6.4.1-15:
Υποστύλωμα ισογείου
0c6 (500/500)

Επειδή οι διατομές των πεδιλοδοκών είναι ισχυρές σε σχέση με τις διατομές των υποστυλωμάτων, η μετακίνηση του φορέα είναι λίγο μεγαλύτερη της πλήρους πάκτωσης (25.7 έναντι 24.5).

Το στατικό σύστημα παραμένει ίδιο και έχει ληφθεί συντελεστής συμπεριφοράς $q=3.60$.

Οι ροπές κάμψης των υποστυλωμάτων στο λαιμό της θεμελίωσης είναι περίπου ίδιες με αυτές της πλήρους πάκτωσης.